

فرایندهای مؤثر در تکوین توده نفوذی کوهدم، شمال خاور اردستان: با تکیه بر شواهد رُثُوشیمیایی و ایزوتوپی

فاطمه سرجوقیان^۱، علی کنانیان^۱ و جمشید احمدیان^۲

^۱ دانشکده زمین‌شناسی، پردیس علوم، دانشگاه تهران، تهران، ایران.

^۲ گروه زمین‌شناسی، دانشگاه پیام نور، تهران، ایران.

تاریخ پذیرش: ۱۳۸۹/۰۴/۱۵ | تاریخ دریافت: ۱۳۸۸/۱۲/۰۳

چکیده

توده نفوذی کوهدم بخشی از سنگ‌های ائوسن بالایی ایران مرکزی محسوب می‌شود. بر اساس اندیس رنگی این توده نفوذی به دو واحد اسیدی و حدواتسط-مافیک قابل تقسیم است. واحد اسیدی دارای ترکیب سنگ‌شناسی مونزوگرانیت، گرانودیوریت، کوارتزمونزودیوریت و کوارتزمونزونیت است. در حالی که، واحد مافیک-حدواتسط از مجموعه سنگ‌شناسی گابریو، دیوریت، کوارتزدیوریت، مونزودیوریت و مونزونیت تشکیل شده است. در واحد اسیدی حضور آنکلاوهای میکرو-گرانولار مافیک با ترکیب دیوریت، کوارتزدیوریت، مونزودیوریت و کوارتزمونزودیوریت به شکل آشکاری خودنمایی می‌کند. براساس داده‌های رُثُوشیمیایی، فرایندهای اختلاط/آمیختگی ماجمایی و تفرقی بلوری نقش مهمی در تحول ماجمایی ناحیه دارند. همچنین توده نفوذی کوهدم میزان پایینی از عنصر TiO_2 و P_2O_5 همراه با نسبت پایین Nb/Zr را نشان می‌دهد که این موارد از ویژگی‌های سنگ‌های آذرین حاشیه فعال قاره‌ای به شمار می‌آید. نسبت‌های ایزوتوپی Sr و Nd نشان‌دهنده آن است که این نسبت‌ها نه شبیه به ماجمای مشتق از پوسته و نه معادل با ماجمای مشتق از گوشه است، بلکه حد میانی ماجمایی پوسته‌ای و گوشه‌ای است. ماجمای تشکیل دهنده آنکلاو از نظر ترکیب ایزوتوپی به سوی ماهیت گوشه‌ای و ماجمای اسیدی ماهیت پوسته‌ای را نشان می‌دهد و توده نفوذی حد وسط-مافیک نسبت ایزوتوپی کم و بیش میان آنها را دارد. این نتایج همراه با مطالعات صحرایی و سنگ‌نگاری، گواه فرایندهای اختلاط/آمیختگی ماجمایی در توده نفوذی موردنظر است و می‌توان گفت که ماجمای سازنده آنکلاوهای احتمالاً از گوشه بالایی حاصل و پس از استقرار در پوسته باعث گرم شدن سنگ‌های پوسته و ذوب بخشی پوسته زیرین می‌شود و بر اثر اختلاط مواد مذاب گوشه‌ای و پوسته‌ای، ماجمای ماویک تا حدواتسط حاصل می‌شود.

کلیدواژه‌ها: توده نفوذی کوهدم، اختلاط/آمیختگی ماجمایی، رُثُوشیمی ایزوتوپی، آنکلاو میکرو-گرانولار، اردستان.

E-mail: Kananian@Khayam.ut.ac.ir

*نویسنده مسئول: علی کنانیان

۱- مقدمه

نقش دارند. افزون بر آن، فرایندهای متفاوتی مانند آب‌زدایی قطعه فرورونده، ذوب بخشی، تفرقی بلوری، آتشتنگی ماجمایی و اختلاط ماجمایی می‌توانند بر تکامل این ماجمایها مؤثر باشند.

به طور کلی، در این پژوهش سعی بر آن است تا با تکیه بر نتایج حاصل از بررسی روابط صحرایی میان بخش‌های مختلف توده نفوذی کوهدم و داده‌های رُثُوشیمیایی و ایزوتوپی، به بررسی ارتباط ژنتیکی میان واحدهای مختلف توده نفوذی، منشاء ماجمای سازنده و فرایندهای مؤثر در تحول و تکامل آن، پرداخته شود.

۲- روش مطالعه

در عملیات صحرایی با توجه به تغییرات سنگ‌شناختی و رایطه آنها با هم، تعدادی نمونه انتخاب و حدود ۱۵۰ مقطع نازک از آنها تهیه شد و در آزمایشگاه مورد مطالعه سنگ‌نگاری قرار گرفت. در مرحله بعد، با در نظر گرفتن طیف سنگ‌شناختی مجموعه مورد مطالعه و ویژگی‌های بافتی، از میان سالم‌ترین آنها ۲۹ نمونه سنگی انتخاب و برای تجزیه XRF و ICP به دانشگاه Naruto ژاپن و ALS Chemex آکادمی ارسال و از میان آنها با توجه به تغییرات سنگ‌شناختی ۱۰ نمونه برای تجزیه ایزوتوپی Sr و Nd به دانشگاه Wuhan چین ارسال شد. سپس نتایج تجزیه‌های شیمیایی موردن تحلیل و پردازش قرار گرفتند و در پایان با استفاده از اطلاعات به دست آمده، چگونگی تحول منشأ سنگی توده نفوذی، موردن بررسی قرار گرفت.

۳- شواهد صحرایی و سنگ‌نگاری

توده نفوذی کوهدم بخش کوچکی از پهنه ایران مرکزی به شمار می‌آید. این توده نفوذی درون سنگ‌های دگرگونی پالٹوزویک، سنگ‌های کربناتی کرتاسه و مجموعه سنگ‌های آتشفشاری آئوسن زیرین نفوذ کرده است (شکل ۱). با

توده نفوذی کوهدم، با گسترشی حدود ۴۰ کیلومتر مربع، در بخش باختری پهنه ایران مرکزی بین طول‌های خاوری $۵۲^{\circ} ۴۸'$ تا $۵۴^{\circ} ۵۲'$ و عرض‌های شمالی $۳۳^{\circ} ۵۴'$ تا $۳۴^{\circ} ۱۰'$ قرار گرفته است. این توده نفوذی از دو بخش اسیدی شامل مونزوگرانیت، گرانودیوریت، کوارتزمونزونیت و کوارتزدیوریت، مونزودیوریت و مونزونیت مافیک با ترکیب گابریو، دیوریت، کوارتزدیوریت، مونزودیوریت و مونزونیت تشکیل شده است. سنگ‌های میزان توده نفوذی شامل شیسته‌های پالٹوزویک، آهک‌های کرتاسه و سنگ‌های آتشفشاری آئوسن زیرین هستند. بر اساس مطالعات سن سنجی با روش K-Ar، سن این مجموعه نفوذی ائوسن بالایی تعیین شده است (Technoexport, 1981). بررسی‌های اولیه بیشتر به منظور اکتشاف کانی‌های فلزی در سنگ‌های این منطقه صورت گرفته است، در حالی که در سال‌های اخیر به مطالعات سنگ‌شناختی در این منطقه پرداخته شده است. از جمله مطالعات سنگ‌شناختی پیشین که در این منطقه صورت گرفته است، می‌توان به مواردی چون، مطالعات مقدماتی سنگ‌شناختی با استفاده از تعداد محدودی تجزیه‌های رُثُوشیمیایی (کنانیان و همکاران، ۱۳۸۷)، بررسی شیمی‌کانی‌ها و ارزیابی شرایط فیزیکوشیمیایی ماجمایی (کنانیان و همکاران، ۱۳۸۷ (الف)) و مطالعه آنکلاوهای میکرو-گرانولار ماویک با استفاده از ویژگی‌های نوری و رُثُوشیمی (کنانیان و همکاران، ۱۳۸۷ (ج)) اشاره کرد. در حالی که اینک بررسی‌های تکمیلی با استفاده از تعداد بیشتری داده‌های رُثُوشیمیایی و ایزوتوپی به منظور فرایندهای حاصل در تکامل این ماجمای موردن توجه قرار گرفته است.

با توجه به این نکته که توده گرانیتوییدی کوهدم جزو نواحی مرتبط با حاشیه فعال قاره‌ای به شمار می‌آید، بنابراین لازم است، منشأ سنگی این توده با دقیق بیشتری مطالعه شود چرا که محیط‌های مرتبط با فرورانش یکی از پیچیده‌ترین محیط‌های زمین‌ساختی هستند (Wilson, 1989) و منشأهای متنوعی چون گوه گوشه‌ای، پوسته اقیانوسی فرورانده، رسوبات فرورانده شده و پوسته زیرین در تولید چنین ماجمایی

اساس تقسیم‌بندی (1989) Lemaitre et al. بیشتر در محدوده کلیسی-قلایابی تا تحولی قرار می‌گیرد (شکل ۵).

چنانچه پیش‌تر بیان شد، این توده نفوذی از دو واحد اسیدی و حدواسط-مافیک تشکیل شده که توده اسیدی در محدوده ۶۱/۶ تا ۷۰/۶ درصد سیلیس و واحد حدواسط-مافیک در محدوده ۴۷/۲ تا ۵۷/۳ درصد سیلیس قرار گرفته است. میزان سیلیس آنکلاوهای میکرو-گرانولار موجود در این توده از ۵۳/۹ تا ۵۷/۸ درصد تغییر می‌کند. میزان عدد منزیم ($Mg\#$) در توده‌های فلزیک و ماویک-حدواسط و آنکلاوهای به ترتیب ۳۲/۲ تا ۴۶/۰۴، ۳۸/۸۷ تا ۶۴/۳۵ و ۳۹/۵ تا ۵۸/۳۸ درصد در نوسان است. بنابراین، آنکلاوهای از لحاظ درصد سیلیس و عدد منزیم ($Mg\#$) کم‌وپیش با واحد ماویک- حدواسط هم‌پوشانی دارند. در این توده بر روی ۴ نمونه واحد فلزیک، ۳ نمونه واحد ماویک- حدواسط و ۳ نمونه آنکلاوهای ایزوتوپی انجام شده است که میانگین نسبت‌های ایزوتوپ اولیه $^{87}Sr/^{86}Sr$ در آنها به ترتیب ۰/۰۶۸۰، ۰/۰۶۵۲ و ۰/۰۶۷۰ به دست آمده است.

همچنین میانگین نسبت‌های ایزوتوپی ($t = ^{143}Nd/^{144}Nd$) در واحد اسیدی، حدواسط-ماویک و آنکلاوهای به ترتیب برابر ۰/۵۱۲۲۳، ۰/۵۱۲۴۰ و ۰/۵۱۲۴۴ محساسبه شده است (با توجه به سن اثوسن بالایی)، حدود ۴۷ میلیون سال به روش K/Ar (Technoexport, 1981). با رسم نسبت‌های ایزوتوپی در نمودار تغییرات $^{87}Sr/^{86}Sr$ (شکل ۶) در برابر $(^{143}Nd/^{144}Nd)_{47Ma}$ نمونه‌های مورد مطالعه خارج از محدوده آرایش گوشه‌ای قرار می‌گیرند و به سوی پوسته زیرین متمایل هستند (شکل ۶).

۵- بحث

برای تعیین فرایندهای مؤثر در ایجاد توده نفوذی کوهدم از عناصر ناسازگاری مانند REE, Th, U, Nb, Ta, Zr, Hf, Y و Ti استفاده شده است. این عناصر کمترین تأثیر را در طی فرایندهای دگرسانی تحمل می‌کنند و به نسبت غیر متحرک هستند. افزون بر آن، از آنچه که در نمونه‌های مورد مطالعه بی‌هنجرانی منفی Ce دیده نمی‌شود و نمونه‌ها میزان LOI پایینی (کمتر از ۶ درصد) را نشان می‌دهند، می‌توان ادعای کرد که نمونه‌ها کمترین میزان دگرسانی را دارند. برای تمایز فرایندهای تفریق بلوری از ذوب بخشی، از نمودار La/Yb در برابر La استفاده می‌کنیم (Wang et al., 2007). چنانچه در این نمودار دیده می‌شود، نمونه‌های مورد نظر روندی مطابق با تفریق بلورین را دنبال می‌کنند (شکل ۷).

برای آگاهی از این که تفریق کدام کانی در واحدهای اسیدی و ماویک- حدواسط سبب تحول ماگمایی شده است، از نمودارهای شکل ۸ استفاده شده است (Wu et al., 2003). چنانچه در این شکل دیده می‌شود، در توده اسیدی با افزایش Sr میزان Ba کم‌وپیش ثابت می‌ماند و به میزان جزیی کاهش می‌یابد و این امر با تفریق پلاژیوکلاز سازگار است. حال آن که، در توده حدواسط-ماویک تغییرات جزیی در میزان Sr دیده می‌شود و عنصر Ba طیف گسترده‌تری را نشان می‌دهد و این روند با تفریق بیوتیت هماهنگی پیشتری دارد. همچنین در نمودار Sr در برابر Ba/Sr روند دیده شده در نمونه‌های متعلق به واحد اسیدی با تفریق پلاژیوکلاز هماهنگی پیشتری دارد. البته در این نمودارها هیچ روندی برای تفریق آمفیبیول معرفی نشده است، چرا که تفریق آمفیبیول بر عناصری مانند Ba و Sr تأثیر کمتری دارد. بنابراین، برای بیندن به نقش آمفیبیول در طول تکامل ماگمایی می‌توان از نمودارهای Er/Yb در برابر SiO_2 استفاده کرد (شکل ۹). با افزایش سیلیس نسبت Er/Yb کاهش می‌یابد که بینگر تفریق بلور آمفیبیول است، زیرا بر اثر تفریق آمفیبیول میزان (Er) کاهش می‌یابد (Wernick & Menezes, 2001).

در حین تکامل ماگمایی افزون بر تفریق بلوری، عواملی مانند اختلاط ماگمایی نیز در سرنوشت ماگما تأثیر بسزایی دارد. برای تعیین فرایندهای ماگمایی دخیل در تولید ماگما می‌توان از نمودارهای تغییرات Y/Nb در برابر

توجه به تغییرات سنگ‌شناسی و اندیس رنگی، توده نفوذی به دو واحد مجزا قابل جدایش است. بخش اسیدی که طیفی از سنگ‌هایی همچون مونزو-گرانیت، گرانو-دیوریت، کوارتزمونزو-نیت و کوارتزمونزو-دیوریت را در بر می‌گیرد و بخش حدواسط-ماویک که ترکیب سنگ‌شناسی گابرو، دیوریت، کوارتز-دیوریت، مونزو-دیوریت و مونزو-نیت توده نفوذی را نشان می‌دهد. با توجه به شواهد صحرایی، توده اسیدی پس از جایگزینی توده مافیک- حدواسط تزیریک شده است (کعنیان و همکاران، ۱۳۸۷). در حاشیه، توده گرانیتو-بیدی قطعاتی از سنگ میزان به عنوان بیگانه سنگ دیده می‌شود. این قطعات شامل شیست با ترکیب آنکلاو سورومیکا، سنگ آهک، آندزیت و دیوریت است که در ابعاد ۲۰ سانتی‌متری تا چندین متری در حاشیه توده به چشم می‌خورند. این قطعات زاویدار و از آنکلاوهای میکرو-گرانولار مافیک با ترکیب دیوریت، کوارتز-دیوریت، مونزو-دیوریت و کوارتز-مونزو-دیوریت درون توده نفوذی قابل تشخیص هستند. آنکلاوهای میکرو-گرانولار مافیک فراوانی نیز در سراسر توده نفوذی به صورت قطعات ساتنی متری و به ندرت در حد چندین متری حضور دارند. این آنکلاوهای در توده نفوذی اسیدی دیده می‌شوند، اما در توده حدواسط دیده نشده‌اند. از ویژگی‌های این آنکلاوهای میزان به توان به شکل کروی تا بیضوی آنها، دانه‌ریز بودن آنها، حضور مگاکریستال‌های فلدسپار در حاشیه آنکلاو، مرز مضرس، کنگرهای و زانده‌دار، نفوذ رگه‌هایی از سنگ میزان به درون آنکلاو، وجود حاشیه اینجاد متری در آنکلاوهای کوچک‌تر (شکل ۲) وجود حاشیه واکنشی در محل همیری آنکلاو- سنگ میزان آنکلاوهای بزرگ‌تر (شکل ۳) اشاره کرد.

بافت چیره در توده نفوذی، بافت گرانولار است و شامل کانی‌های کوارتز، ارتوکلاز، پلاژیوکلاز، بیوتیت، هورنبلند و به مقدار کمتر دارای کانی‌های زیرکن، آپاتیت و اسفن به صورت میان‌بار است. قابل توجه است که در واحد مافیک- حدواسط افزون بر کانی‌های یادشده، پپروکسن نیز دیده می‌شود. از اختلافات کانی‌شناسی این دو واحد تمرکز کانی‌های فرومیزین، پلاژیوکلاز و اسفن در توده حدواسط-ماویک و فراوانی کانی‌های کوارتز، ارتوکلاز و زیرکن در واحد فلزیک است. آنکلاوهای میکرو-گرانولار بافت میکرو-گرانولار و پورفیرو-بیدی دارند و با نزدیک شدن به مرز همیری، اندازه بلورها کوچک‌تر می‌شود. حضور آنکلاوهای میکرو-گرانولار به همراه شواهدی از حضور بافت‌های غیر تعادلی مانند فوکریست فلدسپار با بافت‌های پویی کیلیتیک و آتنی راپاکی وی، کوارتزهای مدلور و چشمی شکل که توسط کانی‌های کوچک دمای بالاتر مانند پلاژیوکلاز، بیوتیت و آفیبول به طور زونه احاطه شده‌اند، خورده‌گی و تحلیل رفتگی پلاژیوکلازها، حضور لخته‌های مافیک، بیوتیت تیغه‌ای، آپاتیت‌های سوزنی، تیغه‌های پلاژیوکلاز همگی دلالت بر وجود اختلاط/آمیختگی مرز مضرس، کنگرهای و زانده‌دار آنکلاو، همگی دلالت بر وجود اختلاط/آمیختگی ماقمایی در این توده نفوذی دارد (کعنیان و همکاران، ۱۳۸۷ ج).

۴- ویژگی‌های ژئوشیمیایی عناصر اصلی، کمیاب و ایزوتوپی

با استناد به نتایج تجزیه شیمیایی عناصر اصلی، کمیاب و ایزوتوپی (جدول ۱) ویژگی‌های ژئوشیمیایی توده نفوذی کوهدم مورد بررسی قرار گرفته است. این توده بر اساس رده‌بندی شیمیایی (1979) Streckeisen & Lemaitre (1979) توده می‌شود توده فلزیک در محدوده مونزو-گرانیت، گرانو-دیوریت، کوارتز-مونزو-دیوریت و کوارتز-مونزو-دیوریت قرار می‌گیرد. در حالی که، توده مافیک- حدواسط در محدوده گابرو، دیوریت، کوارتز-دیوریت، مونزو-دیوریت و مونزو-نیت قرار می‌گیرد و آنکلاوهای نیز ترکیب دیوریت، کوارتز-دیوریت، مونزو-دیوریت و کوارتز-مونزو-دیوریت را نشان می‌دهند (شکل ۴). این توده در زمرة گرانیتو-بیدی نوع I، متا-آلومین تا جزیی پر-آلومین قرار دارد (کعنیان و همکاران، ۱۳۸۷ ب) و بر

گزارش شده است (Weaver & tarney, 1984). میانگین این نسبت‌ها در بخش‌های مختلف توده نفوذی کوهدم تفاوت‌هایی را با هم نشان می‌دهد. در توده نفوذی اسیدی نسبت‌های بالا به ترتیب $11/06$, $11/06$, $2/23$, $37/05$, $1/29$, $2/23$, $223/0$ و $160/0$ در توده نفوذی حدواسط-مافیک به ترتیب برابر $9/2$, $1/79$, $2/26$, $1/12$, $0/86$ و $0/45$ و در آنکلاوهای به ترتیب $5/74$, $15/26$, $0/95$, $5/45$, $0/45$ و $0/76$ محاسبه شده است. مقایسه این نسبت‌ها در توده نفوذی اسیدی، حدواسط-مافیک و آنکلاوهای بیانگر این نکته است که ترکیب آنکلاوهای در مقایسه با توده نفوذی به سوی گوشته تمایل دارد. در حالی که، توده اسیدی به سوی ترکیب پوسته متمایل است و توده نفوذی حدواسط-مافیک ترکیب میان این دو نسبت دارد. با توجه به این شواهد، به نظر می‌رسد که مجموعه‌ای از مذاب‌های پوسته‌ای و گوشته‌ای در تکوین توده نفوذی کوهدم نقش داشته‌اند. به این صورت که احتمالاً در پی تزریق مagma مافیک با ترکیب گوشته‌ای به زیر پوسته و در نتیجه انتقال گرمای سیال‌ها و مواد مذاب به درون پوسته سبب ذوب پوسته زیرین شده است. در این مرحله همچواری magma مافیک سبب ذوب پوسته زیرین شده است. در حدی باعث اختلاط میان این دو magma شده و magma حاصل افزون بر عبور به ترازهای بالاتر پوسته‌ای، متحمل تغییر بلوری شده و magma حاصل حدواسط-مافیک را به وجود آورده است. در پایان نیز بر اثر اختلاط ناقص (آمیختگی magma) میان این دو magma، قدرات magma مافیک اختلاط نیافر به صورت آنکلاوهای درون توده نفوذی اسیدی پراکنده شده‌اند. مقادیر نسبت‌های ایزوتوپی $^{143}\text{Nd}/^{144}\text{Nd}$ (T) و $^{87}\text{Sr}/^{86}\text{Sr}$ (i) در آنکلاوهای توده نفوذی مافیک-حدواسط و توده اسیدی اختلاف چندانی را با هم نشان نمی‌دهد. چنانچه بررسی‌های تجزیی (e.g. Holden et al., 1987; Pin et al., 1990; Poli et al., 1996) نشان می‌دهد، تعادل ایزوتوپی سریع تر از تعادل شیمیایی و تعادل ایزوتوپ Sr سریع تر از Nd انجام می‌شود. بنابراین مقادیر ایزوتوپی به دست آمده، نشانگر آن است که میان توده نفوذی و آنکلاوهای تعادل ایزوتوپی برقرار شده است و همان‌گونه که دیده می‌شود مقادیر ایزوتوپ Sr میان آنکلاوهای توده نفوذی اختلاف کمتری نسبت به ایزوتوپ Nd دارد. بنابراین می‌توان گفت، مقادیر $^{143}\text{Nd}/^{144}\text{Nd}$ پایین تر و $^{87}\text{Sr}/^{86}\text{Sr}$ (i) بالاتر آنکلاوهای نسبت به منشأ گوشته‌ای نشانگر آن است که نسبت ایزوتوپی آنکلاوهای در حین تماش با مذاب پوسته‌ای تا حدی تعدیل شده باشد. به هر حال، نسبت‌های ایزوتوپی آنکلاوهای بیشتر متمایل به ترکیب گوشته است. در حالی که در توده نفوذی حدواسط-مافیک این نسبت تغییر کرده و به سمت ترکیب پوسته پیش رفته است که این موضوع می‌تواند دلالت بر اختلاط magma گوشته‌ای و پوسته‌ای داشته باشد. همچنین باید توجه داشت که نسبت‌های ایزوتوپی سنگ‌های توده نفوذی اسیدی نزدیک به ترکیب ایزوتوپی پوسته پایینی است که این مورد نیز مشکل‌گیری آنها را از ذوب پوسته همراه با آمیختگی جزیی با magma گوشته‌ای تعدیل شده تأیید می‌کند. لازم به یادآوری است که این ویژگی آنکلاوهای توده‌های نفوذی، مشابه با توده‌های نفوذی انواع دولک و ساریسیسک در خاور ترکیه است که توسط Karsli et al. (2007) بررسی شده است.

۶- نتیجه‌گیری

با توجه به موقعیت جغرافیایی توده مورد مطالعه، که در بخش پایانی لبه ایران مرکزی قرار دارد، به نظر می‌رسد این مجموعه در ارتباط با فروراش سنگ‌کره اقیانوسی نوتنیس به زیر خردۀ قاره ایران مرکزی تشکیل شده باشد. ویژگی‌های ژئوشیمیایی توده گرانیتوییدی کوهدم مشابه با گرانیت‌های مرتبط با حاشیه فعل قاره‌ای است. با توجه به همواری سنگ‌های اسیدی با سنگ‌های حدواسط و مافیک در این منطقه، به نظر می‌رسد بر اثر فروراش سنگ‌کره اقیانوسی به زیر سنگ‌کره قاره‌ای و آزادسازی آب کانی‌های سیلیکاتی به درون گوه گوشته‌ای، گوشته دستخوش ذوب بخشی شده و magma مافیک را به وجود آورده است. بخشی از این magma با استقرار

(Karsli et al., 2007) Nb در برابر Sr/Zr (Treuil & Joron, 1975) Nb استفاده کرد. چنانچه در شکل ۱۰ دید می‌شود، روند صعودی نمونه‌های مورد مطالعه با فرایند اختلاط magma ی همواری نوتنیس به ثابت است. همچنین در این توده پی بردن تغییرات Nb/Zr در برابر Nb می‌توان به روند اختلاط magma حاصل (شکل ۱۱). آرایش منحنی در این نمونه‌ها بیانگر فرایند اختلاط magma حاصل از ترکیب مذاب گوشته و پوسته است (Soesoo, 2000). چرا که نسبت‌های این عناصر بر اثر فرایند هایی چون دگرسانی و تغییر، ثابت باقی می‌مانند و بنابراین اختلاط magma موجب می‌شود نمونه‌های مورد مطالعه روند منحنی نشان دهند. افزون بر آن، نمودارهایی هستند که بر پایه نسبت‌های ایزوتوپی رسم شده‌اند. به عنوان مثال magma های حاصل از اختلاط magma با اولیه $^{87}\text{Sr}/^{86}\text{Sr}$ در برابر Sr/Zr خطی را بر اساس شکل ۱۲ به نمایش می‌گذارند. بنابراین، به طور کلی می‌توان گفت که فرایند های اختلاط magma با تغییر بلوری همراه می‌شوند و هر دو سازوکار با هم مسئول روند تکاملی توده گرانیتوییدی کوهدم به شمار می‌آیند.

بررسی‌های پیشین نشان می‌دهد که این توده مرتبط با حاشیه فعل قاره‌ای و بر اثر فروراش سنگ‌کره اقیانوسی نوتنیس به زیر صفحه قاره‌ای سکوی ایران مرکزی تشکیل شده است (کعنیان و همکاران, ۱۳۸۷). برای بررسی درستی نتایج پیشین می‌توان گفت، سنگ‌های توده نفوذی کوهدم نسبت Zr/Nb پایینی دارند (میانگین: $1/12$) که با سنگ‌های درون صفحه‌ای متفاوت است و این نسبت در سنگ‌های درون صفحه‌ای بیش از 100 گزارش شده است (Rios et al., 2007). همچنین چنانچه در شکل ۱۳ دیده می‌شود، این نمونه‌ها در قلمرو سنگ‌های کوه‌هایی واقع شده‌اند (Leat et al., 1986) (لازم به یادآوری است بر اساس بررسی‌های پیشین (کعنیان و همکاران, ۱۳۸۷) ب) این توده جزو سنگ‌های کلیسی - قلایی پتاویمی به شمار آمده اند).

چنانچه در شکل ۱۴ دیده می‌شود، مقادیر P_2O_5 و TiO_2 در نمونه‌های مورد مطالعه به ترتیب کمتر از $0/5$ و $1/5$ درصد است که این از ویژگی‌های سنگ‌های مرتب با فروراش (Volcanic Arc) محسوب می‌شود (Defant et al., 1992). بنابراین، مقادیر P_2O_5 و TiO_2 در توده نفوذی مورد مطالعه نیز گویای شکل گیری آن در محیط زمین ساختی مرتب با کمان‌های آتش‌نشانی است.

ماگماهای تولید شده در این نواحی، در نتیجه عواملی چون (۱) گوشته غنی شده به احتمال پریدوتیت، (۲) پوسته اقیانوسی فرورونده و (۳) پوسته قاره‌ای که magma لازم برای ذوب آن توسط magma گوشته‌ای جایگزین شده زیر پوسته تأمین می‌شود، تشکیل می‌شوند. شواهد ژئوشیمیایی مانند میزان سیلیس بالا، میزان منزیم و عناصر دیرگذاز پایین همراه با شواهد ایزوتوپی همگی با منشأ گوشته‌ای محض منفات دارند. ماگماهای مشق شده از پوسته اقیانوسی فرورانده با عنوان آداداکیت‌ها ویژگی‌های همچون Ba/La , La/Yb_{N} , Sr/Y و La/Yb بالا (Drummond & Defant, 1990; Stern & Killian, 1996) باشند. اما در توده نفوذی کوهدم نسبت Ba/La به ترتیب برابر $14/7$ و $14/7$ است. همچنین نسبت La/Yb_{N} در توده نفوذی اسیدی و حدواسط-مافیک به ترتیب برابر $11/56$ و $11/56$ است. توده نفوذی اسیدی برابر $23/16$ است. بنابراین با توجه به تفاوت‌های ژئوشیمیایی نمونه‌ها با آداداکیت‌ها، نمی‌توان مششأ magma سازنده آنها را ذوب بخشی پوسته اقیانوسی فرورونده در نظر گرفت.

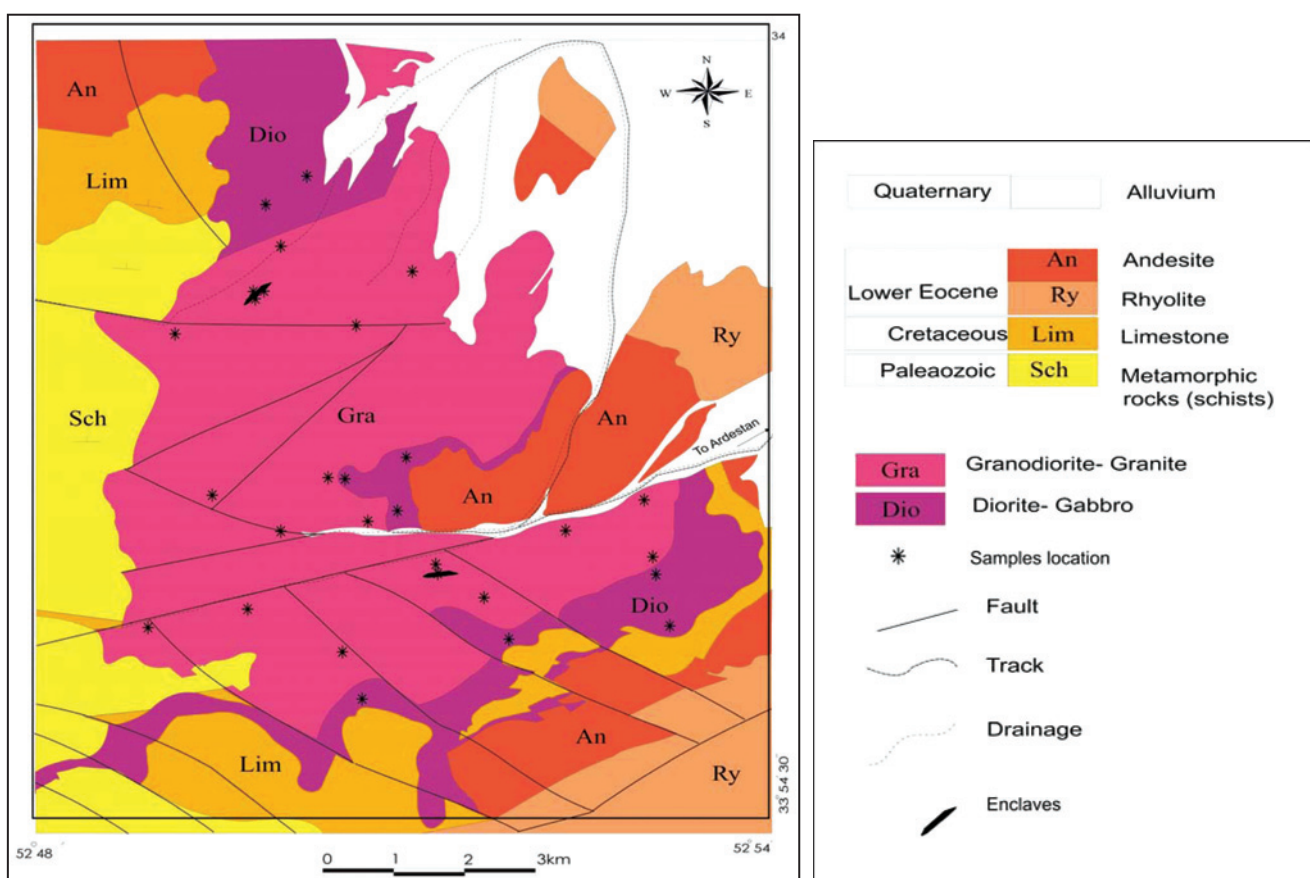
به باور Morata et al. (2005) نسبت‌های پایین ($6.3-7.6$), Zr/Nb ($0.76-1.03$), La/Nb ($7.6-17.4$), Th/Nb ($0.09-0.15$), K/Nb ($370-467$) نشان‌دهنده فعالیت‌های magma مرتب با گوشته غنی شده است. در حالی که، این نسبت‌ها در magma متشق از پوسته به صورت Zr/Nb (16.2), La/Nb (2.2), Ba/Nb (54), Th/Nb (0.44), K/Nb (1341),

نفوذی حدواتسط- مافیک بر اثر اختلاط پیشرفت‌تر ماجمای مشتق از گوشته و ماجمای پوسته‌ای حاصل شده است.

سپاسگزاری

این پژوهش در چارچوب طرح پژوهه مصوب دانشگاه تهران با عنوان "ماهیت پلوتونیسم کوهدم (شمال خاور اردستان)، سرگذشت زمین‌شناسی و تحولات ماجمایی آن" انجام شده است که به این وسیله از حوزه معاونت پژوهشی دانشگاه تهران و حوزه معاونت پژوهشی پردیس علوم و همچنین از همکاری صمیمانه جناب آقای دکتر حسن میرنژاد سپاسگزاری می‌شود.

در زیر پوسته زیرین باعث ذوب بخشی پوسته زیرین شده و بخشی نیز به ترازهای بالاتر رفته و افزون بر اختلاط/آمیختگی با ماجمای پوسته‌ای سازنده توده منجر به تشکیل توده نفوذی مافیک تا اسیدی شده است. با توجه به ویژگی‌های ژئوشیمیایی و ایزوتوپی توده نفوذی و آنکلاوهای به نظر می‌رسد توده نفوذی مافیک- حدواتسط حاصل آمیختگی ماجمای مشتق شده از گوشته و پوسته زیرین باشد. در حالی که، توده نفوذی اسیدی بر اثر اختلاط ماجمایی ناقص بین ماجمای گوشته‌ای و ماجمای پوسته زیرین ایجاد شده و آنکلاوهای با منشأ نزدیک به گوشته در آن پراکنده شده‌اند. بنابراین، می‌توان نتیجه گرفت که توده اسیدی کوهدم با منشأ پوسته زیرین مرحله‌ای از اختلاط ناقص یا آمیختگی ماجمایی را پشت سر گذاشته است. اما توده



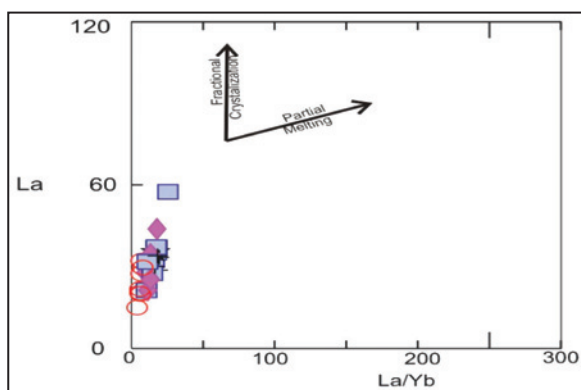
شکل ۱- نقشه زمین‌شناسی کوهدم، (برگرفته از گزارش 1981، Technoexport با تغییرات جزئی).



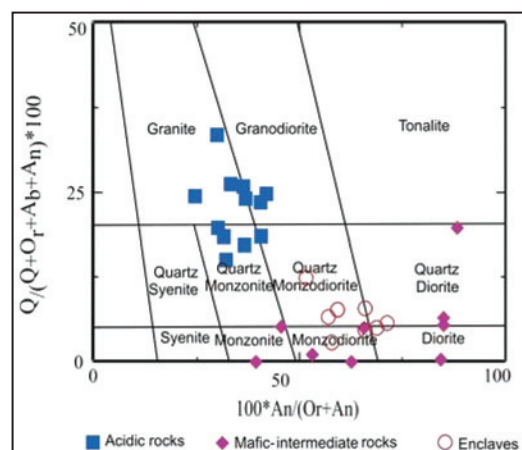
شکل ۳- تشکیل حاشیه واکنشی در همیری آنکلاو- سنگ میزان



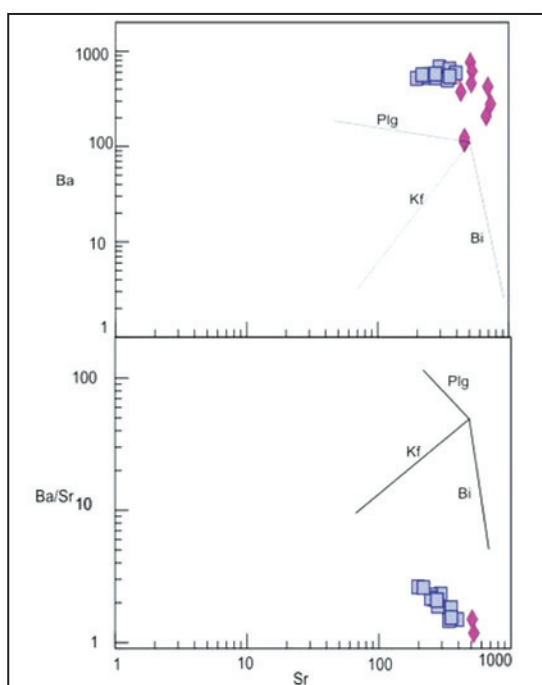
شکل ۲- نمایی از آنکلاوهای میکروگرانولار مافیک



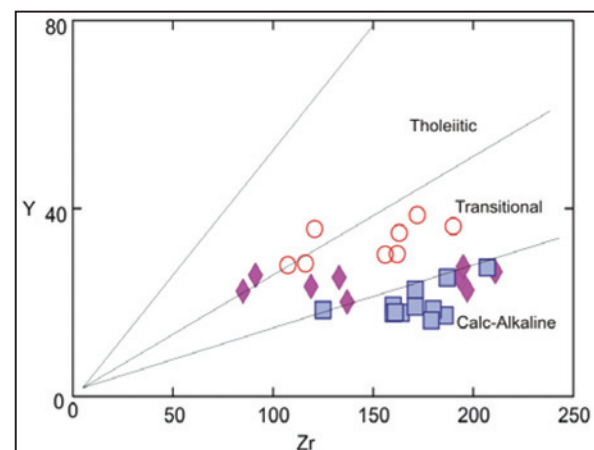
شکل ۷- تمایز فرایند تفریق بلوری از ذوب بخشی با استفاده از نمودار تغییرات La در برابر La/Yb (Wang et al., 2007) La/Yb عالائم مشابه شکل ۴ است.



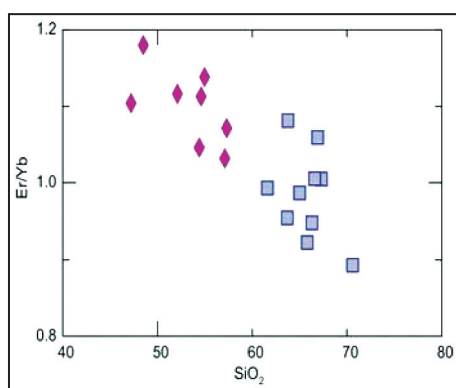
شکل ۴- موقعیت نمونه‌های مورد مطالعه بر روی نمودار طبقه‌بندی نورماتیو سنگ‌های نفوذی (Streckeisen & Lemaitre, 1979).



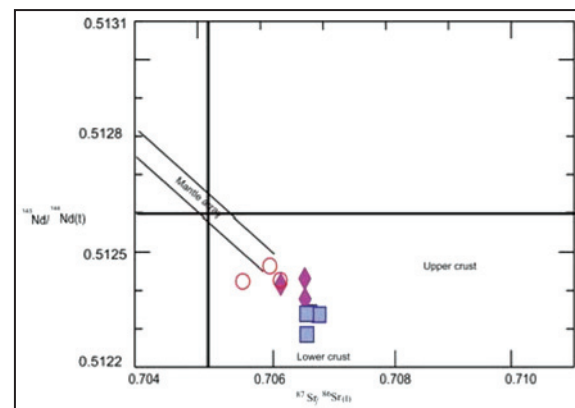
شکل ۸- نمودار لگاریتمی Sr در برابر Ba/Sr و Ba در برابر Sr برای جدایش روندهای تفریق پلازما کلاز، فلدسپار پاتاسیم و بیوتیت (Wuetal., 2003). عالائم مشابه شکل ۴ است.



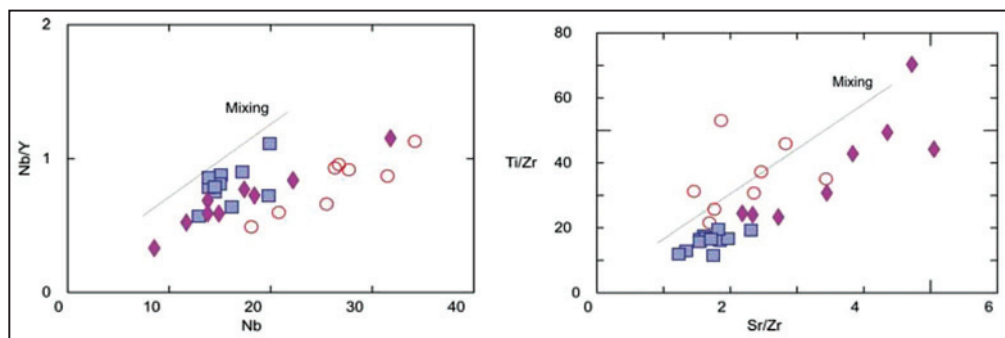
شکل ۵- نمودار جدا کننده محدوده‌های کلسیمی قلبایی- تحولی- تولیتی با استفاده از عناصر فرعی Y در برابر Zr (Lemaitre et al., 1989). عالائم مشابه شکل ۴ است.



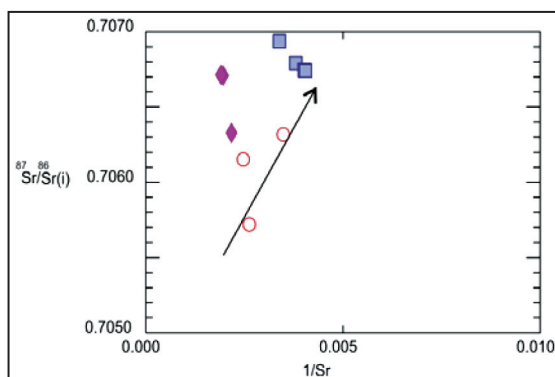
شکل ۹- روند نزولی نمودار تغییرات Er/Yb در برابر SiO_2 بیانگر تفریق آمفیبول در توده نفوذی مورد مطالعه است (Wernick & Menezes, 2001). عالائم مشابه شکل ۴ است.



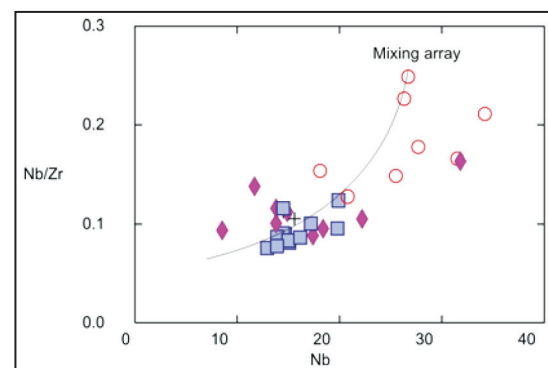
شکل ۶- رسم نسبت‌های ایزوتوبی در نمودار تغییرات $^{87}\text{Sr}/^{86}\text{Sr}(i)$ در برابر $^{143}\text{Nd}/^{144}\text{Nd}$ (47Ma). عالائم مشابه شکل ۴ است.



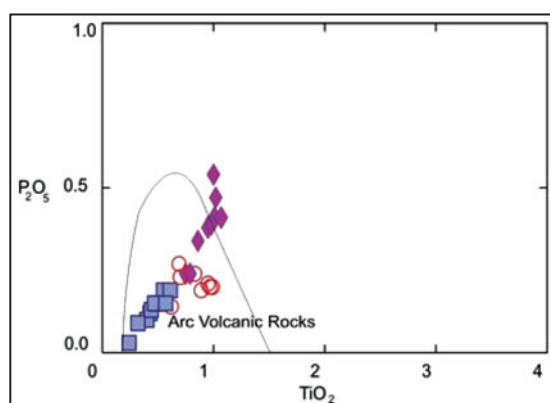
شکل ۱۰- روند صعودی در نمودارهای تغییرات Y/Nb در برابر Nb (Karsli et al., 2007) و Ti/Zr در برابر Sr/Zr (Treuil & Joron, 1975) مورد نظر است. علامت مشابه شکل ۴ است.



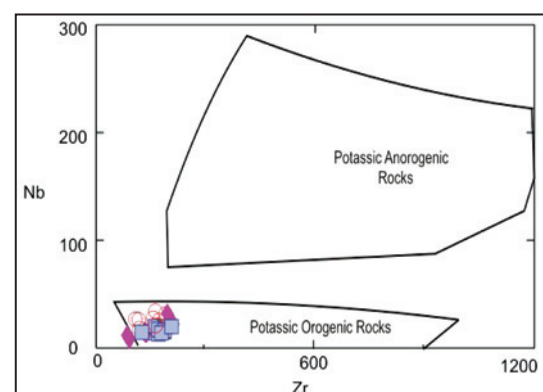
شکل ۱۲- آرایش خطی نسبت ایزوتوپی اولیه $^{87}Sr/^{86}Sr$ در برابر $1/Sr$ (Soesoo, 2000) در اختلاط ماقمایی در توده نفوذی مورد مطالعه است. علامت مشابه شکل ۴ است.



شکل ۱۱- نمودار تغییرات Nb/Zr در برابر Nb (Soesoo, 2000) مورد مطالعه گواهی بر فرایند اختلاط ماقمایی در این توده است. علامت مشابه شکل ۴ است.



شکل ۱۴- نمودار تغییرات P_2O_5 در برابر TiO_2 (Defant et al., 1992) که توسط پیشنهاد شده است. در این نمودار سنگ‌های پاتاسیمی کوهزایی از غیر کوهزایی تمایز شده‌اند. علامت مشابه شکل ۴ است.



شکل ۱۳- نمودار تغییرات Nb در برابر Zr (Leat et al., 1986) که توسعه پیشنهاد شده است. در این نمودار سنگ‌های پاتاسیمی کوهزایی از غیر کوهزایی تمایز شده‌اند. علامت مشابه شکل ۴ است.

جدول ۱- نتایج تجزیه ژئوشیمیایی و ابزوتوبی بخش‌های مختلف توده نفوذی کوه‌دم.

Sample	نتایج های اسیدی											
	d1	F157	f215	F218	F36	F38	f48	f72	F8	f97	H21	H6
SiO ₂	66.91	66.3	65.43	65.8	67.3	65	63.77	62.68	63.7	66.59	70.6	61.6
TiO ₂	0.5	0.4	0.48	0.44	0.32	0.43	0.55	0.61	0.48	0.47	0.24	0.57
Al ₂ O ₃	15.69	15.25	16	15.25	15.7	15.05	16.38	16.15	14.95	15.76	13.85	15.9
Fe ₂ O ₃	1.2363	1.67	2.1655	1.78	1.47	1.79	2.2203	2.5096	1.79	1.9389	1.14	2.15
MnO	0.06	0.07	0.09	0.11	0.04	0.07	0.08	0.08	0.09	0.06	0.03	0.09
MgO	1.36	1.22	1.65	1.43	0.9	1.68	1.59	2.11	1.44	1.68	0.79	1.68
CaO	4.11	2.66	2.91	3.12	2.12	2.84	4.28	4.13	3.61	3.26	2.01	4.78
Na ₂ O	3.85	3.22	3.76	3.33	3.27	3.16	3.53	3.23	3.11	3.62	3.37	3.48
K ₂ O	4.64	4.28	4.71	4.15	5.23	3.98	4.52	5.13	3.72	3.81	3.98	3.85
P ₂ O ₅	0.15	0.1	0.15	0.13	0.09	0.12	0.19	0.19	0.15	0.15	0.03	0.15
LOI	1.3	1.58	1.6	1.72	1.86	1.17	1.2	1.64	2	2.1	0.87	2.97
Total	99.92	99.1	97.437	99.8	98.3	98	98.42	98.56	97.8	99.53	98.5	100.5
Ba	648	569	526.5	534	519	685	589	498.3	560	577	567	546
Rb	117	154.5	156.8	122.5	147.5	146	146	185.5	122.5	111	143	146
Sr	354	249	279.1	247	197.5	295	395	340.4	263	276	218	354
Ga	16.7	16.8	*	15.1	14.4	17.3	17.3	*	16.5	16.2	15.1	17.8
Nb	15	15.1	12.93	13.9	19.9	14.5	17.2	16.16	14.7	13.9	14.5	19.8
Hf	4.9	5.1	*	4.6	4.6	4.4	4.8	*	4.7	4.9	3.9	5.7
Zr	180	186	171	160	161	160	171	187	164	179	125	207
Ti	2997	2398	2878	2638	1918	2578	3297	3657	2878	2818	1439	3417
Y	18.5	17.2	22.7	17.7	17.9	19.3	19.1	25.3	17.8	16.2	18.4	27.4
Th	16.05	20.1	16.85	16.8	28.6	18.5	22.5	26.79	16.4	15.9	22.5	23.4
U	3	4.19	*	3.66	5.87	4.01	5.4	*	3.38	3.3	4.58	4.81
Cr	10	50	*	40	10	70	20	16.6	60	10	10	20
Ni	6	4		5	5	9	9.1	5	6	8	11	
Co	5.5	44.6	*	35.7	46	31.1	13.3	*	38.7	8.6	6.4	10.3
V	82	66	*	61	40	75	98	*	73	69	37	118
Cu	8	7	*	8	5	6	27	*	9	11	6	50
Pb	8	11	10.1	10	10	12	12	9.1	11	10	14	12
Zn	25	49	*	40	23	61	40	*	53	46	27	32
Sn	3	3	*	2	3	2	3	*	2	2	3	4
W	14	410	*	351	*	262	24	*	341	7	1	3
Ta	1.2	1.5	*	1.3	2.1	1.3	1.3	*	1.3	1.2	1.6	1.6
Cs	2.02	4.99	*	3.78	4.41	4.08	7.41	*	3.35	3.27	3.62	6.98
La	21.4	36.7	*	32.5	35.3	57.4	37.2	*	31.3	27.7	37.3	31.9
Ce	66.1	65.8	39.4	56.6	61.4	100	47.3	55.6	58.3	48.5	65	61.7
Pr	5.27	7.09	*	5.7	6.2	10.5	6.94	*	6.17	5.16	6.48	7.04
Nd	19.2	24.7	*	19.4	20.1	34.9	23.3	*	21.6	17.4	20.6	25.6
Sm	3.94	4.44	*	3.54	3.58	5.87	4.48	*	4.1	3.28	3.57	5.38
Eu	0.98	0.94	*	0.85	0.76	1.08	1.17	*	1.07	0.96	0.67	1.08
Gd	3.58	4.19	*	3.69	3.66	5.27	4.34	*	4.09	3.27	3.43	5.01
Tb	0.55	0.57	*	0.55	0.52	0.67	0.62	*	0.57	0.49	0.48	0.76
Dy	3.44	3.27	*	3.12	3.23	3.82	3.48	*	3.5	3	2.87	4.64
Ho	0.62	0.65	*	0.65	0.6	0.72	0.65	*	0.7	0.57	0.59	0.94
Er	2.14	2.02	*	1.91	2.05	2.23	2.26	*	2.12	1.9	1.92	2.86
Tm	0.31	0.3	*	0.29	0.3	0.33	0.32	*	0.32	0.28	0.3	0.41
Yb	2.02	2.13	*	2.07	2.04	2.26	2.09	*	2.22	1.89	2.15	2.88
Lu	0.34	0.34	*	0.32	0.34	0.34	0.35	*	0.33	0.32	0.33	0.44
⁸⁷ Sr/ ⁸⁸ Sr	*	0.7079	*	0.7077	0.7079	*	*	*	0.7077	*	*	*
¹⁴² Nd/ ¹⁴⁴ Nd	*	0.5123	*	0.5124	0.5124	*	*	*	0.5124	*	*	*
⁸⁷ Rb/ ⁸⁸ Sr	*	1.7950	*	1.4350	1.4320	*	*	*	1.3480	*	*	*
¹⁴⁷ Sm/ ¹⁴⁴ Nd	*	0.1087	*	0.1103	0.1017	*	*	*	0.1147	*	*	*
(⁸⁷ Sr/ ⁸⁸ Sr)j	*	0.7067	*	0.7067	0.7069	*	*	*	0.7068	*	*	*
(¹⁴³ Nd/ ¹⁴⁴ Nd)j	*	0.5123	*	0.5123	0.5123	*	*	*	0.5123	*	*	*
ε Nd (T)	*	-5.89	*	-4.83	-4.87	*	*	*	-4.78	*	*	*

ادامه جدول ۱

Sample	سنگ های ماقنیک. حدیاسط								
	f121	F125	f140	f149	f153	F62	H24	H25	H30
SiO ₂	54.96	52.1	48.79	57.3	57.1	48.5	54.6	47.2	54.4
TiO ₂	1.01	0.95	1.07	0.79	0.75	0.98	1	1.02	0.86
Al ₂ O ₃	19.19	18.3	17.72	16.15	16.5	19.75	19.5	17.6	16.4
Fe ₂ O ₃	2.751	1.9	2.696	2.31	1.5	2.74	2.34	2.11	2.03
MnO	0.1	0.15	0.35	0.13	0.1	0.19	0.13	0.13	0.14
MgO	3.75	2.34	2.21	3.82	2.57	2.36	2.81	4.91	4.04
CaO	7	8.02	14.91	6.64	8	8.76	8	12.45	8.16
Na ₂ O	3.56	3.42	2.42	3.39	3.29	3.13	3.95	3.1	4.56
K ₂ O	2.55	3.58	5.52	0.61	3.83	3.09	1.34	1.48	0.83
P ₂ O ₅	0.41	0.38	0.41	0.24	0.24	0.39	0.54	0.47	0.34
LOI	3.1	4.88	3.24	4.9	3.5	5.1	1.26	4.74	4.15
Total	98.51	99.2	99.42	96.35	99.8	100	100	99.9	99.8
Ba	424	763	374.4	110.5	619	460	208	280	123
Rb	93.4	139	184.3	24	114.5	113.5	62.7	75.5	35.1
Sr	692	510	430.6	460	525	518	672	725	460
Ga	19.9	19	*	18.6	18.6	19.8	22.3	19.9	17.9
Nb	13.8	14.9	8.54	17.4	18.4	13.8	31.8	11.7	22.2
Hf	3.7	3.6	*	5.3	5.3	3.3	4.7	2.4	5.5
Zr	137	133	91.2	197	193	119	195	85	211
Ti	6055	5695	6414	4736	4496	5875	5995	6115	5156
Y	20.1	25.3	25.8	22.6	25.4	23.4	27.6	22.4	26.5
Th	12.35	13.2	10.49	21.2	20.8	12.7	11.35	6.27	13.5
U	3.49	5.34	*	4.28	6.03	3.78	5.09	1.81	4.58
Cr	30	50	118.2	90	40	30	66	210	200
Ni	13	11	27.8	26	13	15	32	69	69
Co	18.6	21.9	*	41.2	36.1	60	21.2	19.7	15.4
V	170	173	*	176	150	191	149	296	179
Cu	7	5	*	48	13	37	103	29	5
Pb	14	7	8.8	7	13	11	21	9	6
Zn	46	71	*	63	41	52	83	38	50
Sn	1	a	*	3	4	3	3	2	2
W	12	75	*	235	236	*	4	1	2
Ta	1	1.1	*	1.4	1.5	1.2	2.2	0.7	1.5
Cs	7.52	3.21	*	1.92	4.77	8.09	9.01	5.01	2.38
La	25.2	31.3	*	31.8	27.9	26.8	44	25.4	34.7
Ce	50.2	59.5	53.9	62.3	61.1	52.8	68.6	49.7	68.1
Pr	6.05	7.16	*	7.33	7.5	6.26	9.99	5.88	7.85
Nd	22.8	27.7	*	27.5	28.3	23.7	37.3	23.5	29.2
Sm	4.68	5.88	*	5.49	5.77	5.07	7.16	5.14	6.03
Eu	1.35	1.69	*	1.25	1.28	1.5	1.84	1.45	1.59
Gd	4.46	6.1	*	5.36	5.84	5.07	6.73	4.78	5.68
Tb	0.67	0.84	*	0.76	0.85	0.78	0.91	0.68	0.82
Dy	3.91	5.05	*	4.58	5.03	4.54	4.94	3.96	4.87
Ho	0.71	0.98	*	0.9	1	0.84	0.98	0.79	0.95
Er	2.15	2.88	*	2.7	2.92	2.49	2.76	2.12	2.73
Tm	0.29	0.39	*	0.37	0.42	0.34	0.38	0.31	0.4
Yb	1.88	2.58	*	2.52	2.83	2.11	2.48	1.92	2.61
Lu	0.3	0.38	*	0.37	0.41	0.32	0.37	0.3	0.38
⁸⁷ Sr/ ⁸⁸ Sr	*	0.7072	*	0.7064	0.7071	*	*	*	*
¹⁴³ Nd/ ¹⁴⁴ Nd	*	0.5125	*	0.5125	0.5124	*	*	*	*
⁸⁷ Rb/ ⁸⁸ Sr	*	0.7890	*	0.1510	0.6310	*	*	*	*
¹⁴⁷ Sm/ ¹⁴⁴ Nd	*	0.1283	*	0.1207	0.1233	*	*	*	*
(⁸⁷ Sr/ ⁸⁸ Sr)i	*	0.7067	*	0.7063	0.7067	*	*	*	*
(¹⁴³ Nd/ ¹⁴⁴ Nd)i	*	0.5124	*	0.5124	0.5124	*	*	*	*
ϵ Nd (T)	*	-3.04	*	-3.33	-4.07	*	*	*	*

ادامه جدول ۱

Sample	آنکنیت‌ها							
	d3	F197	F4	F51	f90	f91	H13	H9
SiO ₂	55.79	54.5	55.2	54.3	55.33	56.39	53.9	57.8
TiO ₂	0.89	0.62	0.97	0.83	0.99	0.95	0.69	0.7
Al ₂ O ₃	17.72	17.15	16.5	16.7	17.74	17.5	14.6	16.8
Fe ₂ O ₃	3.7427	2.26	3.37	2.94	3.9015	3.5112	2.66	2.71
MnO	0.14	0.13	0.15	0.17	0.12	0.1	0.17	0.16
MgO	3.15	3.48	3.3	3.16	3.39	3.01	4.81	2.99
CaO	5.58	5.15	4.07	6.52	5.51	6.17	7.07	4.57
Na ₂ O	4.66	4.8	4.48	3.59	4.54	4.95	3.76	3.96
K ₂ O	2.47	1.75	2.15	2.73	1.76	1.45	1.63	3
P ₂ O ₅	0.19	0.14	0.2	0.24	0.2	0.21	0.27	0.23
LOI	3.2	5.54	1.96	3.19	3.6	3.5	3.6	2.76
Total	97.91	99.2	98	99.4	97.14	97.79	98.2	99.9
Ba	349.3	309	534	395	274	207.71	391	538
Rb	108.7	69	85.9	189.5	77.7	53.44	74.2	142
Sr	328.5	290	384	381	276	199.8	405	287
Ga	*	20.5	21.9	20.2	22.3	24.4	18.5	19.8
Nb	26.32	25.5	27.7	34.2	31.5	26.71	18.1	20.8
Hf	*	5.5	4.1	4.7	5.2	3.22	3.5	4.9
Zr	116.2	172	156	162	190	107.35	118	163
Ti	5335	3717	5815	4976	5935	5695	4136	4196
Y	28.3	38.6	30.2	30.3	36.2	27.94	36.9	34.8
Th	12.86	14.3	11.15	14.65	14.05	11.03	8.06	10
U	*	6.33	2.81	8.3	4.76	4.03	2.54	7.59
Cr	*	20	20	40	20	13.74	120	10
Ni	4.8	6	9	11	10	5.17	24	9
Co	*	20.7	30.5	29.3	18	18.44	20	15.4
V	*	137	180	157	186	155.42	186	174
Cu	*		17	111	14	5.35	5	13
Pb	6.5		17	11	23	30.86	10	11
Zn	*	67	96	96	82	40.26	63	70
Sn	*	4	4	6	5	3.31	6	4
W	*	125	139	136	7	2.86	1	2
Ta	*	2.2	1.8	2.7	2.1	2.9	0.8	2
Cs	*	1.92	2.17	2.22	5.01	2.62	3.7	6.26
La	*	32.3	20.6	27.6	15.1	20.13	21.9	29.8
Ce	32.1	64.5	43.5	58	34.4	48.84	52	65.3
Pr	*	7.88	5.65	7.31	4.88	5.54	6.97	7.99
Nd	*	29.9	22.9	27.6	20.9	21.83	28.6	29.7
Sm	*	6.69	5.44	6.09	5.86	5.07	7.03	6.43
Eu	*	1.37	1.29	1.28	1.24	1.18	1.22	1.28
Gd	*	7.16	5.78	6.19	5.66	5.22	6.83	5.92
Tb	*	1.13	0.88	0.92	1.06	0.93	1.07	0.97
Dy	*	7.2	5.75	5.86	6.66	5.26	6.24	5.82
Ho	*	1.47	1.15	1.17	1.26	1.26	1.26	1.19
Er	*	4.6	3.47	3.67	4.06	3.31	3.68	3.59
Tm	*	0.69	0.5	0.57	0.59	0.54	0.56	0.56
Yb	*	4.88	3.47	4.17	3.92	3.23	3.71	3.82
Lu	*	0.75	0.52	0.64	0.66	0.57	0.57	0.58
⁸⁷ Sr/ ⁸⁸ Sr	*	*	*	0.7067	*	*	0.7065	0.7073
¹⁴³ Nd/ ¹⁴⁴ Nd	*	*	*	0.5125	*	*	0.5125	0.5125
⁸⁷ Rb/ ⁸⁸ Sr	*	*	*	1.4390	*	*	0.5300	1.4314
¹⁴⁷ Sm/ ¹⁴⁴ Nd	*	*	*	0.1334	*	*	0.1480	0.1304
(⁸⁷ Sr/ ⁸⁸ Sr)i	*	*	*	0.7057	*	*	0.7062	0.7063
(¹⁴³ Nd/ ¹⁴⁴ Nd)i	*	*	*	0.5124	*	*	0.5125	0.5124
ε Nd (T)	*	*	*	-3.17	*	*	-2.38	-3.12

کتابخانه

- کعنیانیان، ع.، احمدیان، ج.، سرجوقیان، ف.، ۱۳۸۷ الف- شیمی برخی از کانی‌ها و ارزیابی دما و فشار در توده گرانیتوییدی کوه دم، شمال شرق اردستان، مجله بلورشناسی و کانی‌شناسی، ۱۶: ۴۹-۶۶.
- کعنیانیان، ع.، سرجوقیان، ف.، احمدیان، ج.، میرنژاد، ح.، ۱۳۸۷ ب- پتروژن توده گرانیتوییدی کوهدم، شمال شرق اردستان، مجله علوم دانشگاه تهران، ۳۴: ۴۱-۵۳.
- کعنیانیان، ع.، سرجوقیان، ف.، احمدیان، ج.، ۱۳۸۷ ج- منشأ آنکلاوهای میکروگرانولار در توده گرانیتوییدی کوهدم، شمال شرق اردستان، مجله پژوهشی دانشگاه اصفهان (علوم پایه)، ۳۰: ۳۹-۱۶۶.

References

- Defant, M. J., Jackson, T. E., Drummond, M. S., De Boer, J. Z., Bellon, H., Feigenson, M. D., Maury, R. C. & Stewart, R. H., 1992- The geochemistry of young volcanism throughout western Panama and southeastern Costa Rica: an overview, *Journal of the Geological Society, London*, 149: 569-579.
- Drummond, M. S. & Defant, M. J., 1990- A model for trondhjemite-tonalite-dacite genesis and crustal growth via slab melting: Archean to modern comparisons, *Journal of Geophysics Research*, 95: 21503-21521.
- Holden, P., Halliday, A. N. & Stephens, W. E., 1987- Neodymium and strontium isotope content of microdiorite enclaves points to mantle input to granitoid production. *Nature* 330, 53-56.
- Karsli, O., Chen, B., Aydin, F. & Şen, C., 2007- Geochemical and Sr-Nd-Pb isotopic compositions of the Eocene Dölek and Sarıçık Plutons, Eastern Turkey: Implications for magma interaction in the genesis of high-K calc-alkaline granitoids in a post-collision extensional setting, *Lithos*, 98: 67-96.
- Leat, P. T., Jackson, S. E., Thorpe, R. S. & Stillman, C. J., 1986- Geochemistry of bimodal basalt-subalkaline/ peralkaline-rhyolite provinces within the southern British Caledonides. *Journal of Geology Society London*, 143: 259-276.
- Lemaitre, R. W., Bateman, P., Dudek, A., Keller, J., Le Bas, M. J., Sabine, P. A., Schmid, R., Sorensen, H., Streckeisen, A., Woolley, A. R. & Zanettin, B., 1989- A Classification of Igneous Rocks and Glossary of Terms. Blackwell, Oxford, 193pp.
- Lesher, C. E., 1990- Decoupling of chemical and isotopic exchange during magma mixing. *Nature* 344, 235-237.
- Morata, D., Oliva, C., Cruz, R. D. I. & Suarez, M., 2005- The Bandurrias gabbro: Late Oligocene alkaline magmatism in the Patagonian Cordillera, *Journal of South American Earth Sciences*, 18: 147-162.
- Pin, C., Binon, M., Belin, J. M., Barbarin, B., Clemens, J. D., 1990- Origin of microgranular enclaves in granitoids: equivocal Sr-Nd evidence from Hercynian rocks in the Central France. *J. Geophys. Res.* 95, 17821-17828.
- Poli, G., Tommasini, S., Halliday, A. N., 1996- Trace elements and isotopic exchange during acid-basic magma interaction processes. *Trans. R. Soc. Edinb. Earth Sci.* 87, 225- 232.
- Rios, D. C., Conceicao, H., Davis, D. W., PlaCid, J., Rosa, M. L. S., Macambira, M. J. B., McReath, I., Marinho, M. M. & Davis, W. J., 2007- Paleoproterozoic potassic-ultrapotassic magmatism: Morro do Afonso Syenite Pluton, Bahia, Brazil *Precambrian Research*, 154- 1-30.
- Soesoo, A., 2000- Fractional crystallization of mantle-derived melts as a mechanism for some I-type granite petrogenesis: an example from Lachlan Fold Belt, Australia. *Journal Geology Society*. 157: 135-149.
- Stern, C. R. & Killian, R., 1996- Role of the subducted slab, mantle wedge and continental crust in the generation of adakites from the Andean Austral Volcanic Zone, *Contribution to Mineralogy and Petrology*, 123: 263-281.
- Streckeisen, A. I. & LeMaitre, R. W., 1979- A chemical approximation, to the model QAPF classification of the igneous rocks, *Neues Jahrbuch für mineralogy Ab-handlungen*, 136: 169-206.
- Technoexport, 1981- Detail geology prospecting in the Anarak Area Central Iran. Geological Survey of Iran, Report No: 9. 154p.
- Treuil, M. & Joron, J. L., 1975- Utilisation des éléments hygromagmatophiles pour la simplification de la modélisation quantitative des processus magmatiques. Exemples de l'Afar et de la Dorsale Medioatlantique. *Rend. Soc. Italy Mineralogy and Petrology*. 31: 125-174.
- Wang, Q., Wyman, D. A., Xu, J., Jian, P., Zhao, Z., Li, C., Xu, W., Ma, J. & He, B., 2007- Early Cretaceous adakitic granites in the Northern Dabie Complex, central China: Implications for partial melting and delamination of thickened lower crust *Geochimica et Cosmochimica Acta* 71: 2609-2636.
- Weaver, B. L. & Tarney, J., 1984- Empirical approach to estimating the composition of the continental crust, *Nature*, 310: 575-577.
- Wernick, E. & Menezes, A., 2001- The Late Precambrian K-alkaline magmatism in the Ribeira Fold Belt: a case study of the Piracaia Pluton, State of São Paulo, SE Brazil, and its potential mineralization (Cu, Zn, Gd)q, *Journal of Asian Earth Sciences*, 19: 347-373.
- Wilson, M., 1989- Igneous petrogenetic, Chapman & Hall. 466p.
- Wu, F. Y., Jahn, B. M., Wilde, S. A., Lo, C. H., Yui, T. F., Lin, Q., Ge, W. C. & Sun, D. Y., 2003- Highly fractionated I-type granites in NE China (I): geochronology and petrogenesis, *Lithos*, 66: 241-273.